

ستز و بهود مشخصه‌های زئولیت ZSM-11 با فلزهای واسطه برای کاربرد کاتالیستی آن در گوگردزدایی اکسایشی

مریم حقیقی⁺، سمية گونه فراهانی

گروه شیمی، دانشکده فیزیک و شیمی، دانشگاه الزهرا (س)، تهران، ایران

چکیده: زئولیت ZSM-11 به طور موقیت آمیز با استفاده از روش دانه و با قالب آلی پیشنهادی N -Dیاتیل آنیلین سنتر شد. افزون بر این، تأثیر نسبت سلیسیم به آلمینیوم بر روی دانه بررسی و نسبت بهینه ۱۰ بدست آمد. زئولیت‌های سنتر شده با استفاده از فناوری‌های SEM، BET، FT-IR و XRD شناسایی شدند. از زئولیت سنتر شده به عنوان کاتالیست ناهمگن در فرایند گوگردزدایی اکسایشی برای مدل نفتی شامل ۱۱-هپتان و دی‌بنزوتیوفن استفاده شد. برای بدست آوردن شرایط بهینه‌ی واکنش اثر دما و مقدار کاتالیست مورد بررسی قرار گرفت و دمای 100°C و مقدار ۸٪/۰ به عنوان دما و مقدار کاتالیست بهینه انتخاب شد و تأثیر زمان در شرایط بهینه برای کاتالیست‌های گوناگون بررسی شد. همچنین در صد تبدیل دی‌بنزوتیوفن زئولیت‌های تبادل یونی شده با فلزهای واسطه‌ی گوناگون از جمله مولیکلن، وانادیوم، لانتانیم، کربالت، مس و سریم توسط کروماتوگرافی گازی محاسبه و با یک دیگر مقایسه شد. نتیجه‌ها نشان داد که کاتالیست Mo/ZSM-11 فعالیت اکسایش بالایی در مقایسه با سایر کاتالیست‌ها در واکنش گوگردزدایی اکسایشی دارد.

کلید واژه‌ها: ZSM-11، N,N -Diethylaniline template، گوگردزدایی اکسایشی

KEYWORDS: ZSM-11, N,N -Diethylaniline template, Oxidative desulfurization

مقدمه

و هر ساله قانون‌های زیست محیطی سختگیرانه در کشورهای اتحادیه اروپا برای کاهش گوگرد در سوخت در نظر گرفته می‌شود [۱]. ترکیب‌های گوگردی آلی گوناگون موجود در سوخت‌های بنزین، جت و دیزل و نقطه جوش و کاربردهای آن‌ها در جدول ۱ ارایه شده است. مطالعات نشان می‌دهد که نوع ترکیب‌های گوگردی در برش‌های گوناگون از منابع نفت متفاوت بوده و هرچه نقطه جوش و دانسیته افزایش می‌یابد سوخت، دارای ترکیب‌های گوگردی آروماتیک با وزن مولکولی بالاتر خواهد بود [۲]. به دلیل کاهش منع‌های سوختی سبک نیاز به مصرف سوخت‌های سنگین ارزان قیمت در حال افزایش است،

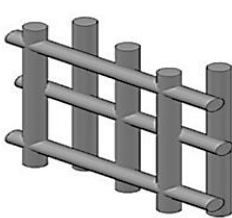
نفت خام، مخلوط پیچیده‌ای از هیدروکربن‌های گوناگون، گروه‌های پارافینی و آروماتیک است. افزون بر این در نفت خام مقدارهای کمی ترکیب‌های گوگرددار، نیتروژن‌دار و فلزهایی مانند نیکل و وانادیوم وجود دارد. ترکیب‌های آلی گوگرددار بخش اعظم محتوای گوگردی نفت خام را تشکیل می‌دهند [۱]. ترکیب‌های گوگردی موجود در نفت منجره انتشار گازهای آلاینده، مسموم شدن کاتالیستی‌های مورد استفاده در مبدل کاتالیستی اگزوز خودرو و صنعت نفت و همچنین ایجاد خوردگی در تجهیزات فلزی می‌شوند. بنابراین مسئله‌ی حذف گوگرد از سوخت به یکی از چالش‌های مهم در صنایع پالایش مبدل شده [۲]

+E-mail: m.haghichi@alzahra.ac.ir

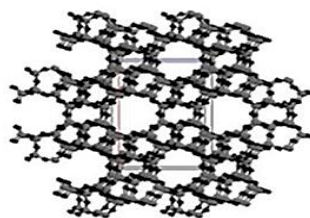
* عهده دار مکاتبات

جدول ۱. ترکیب‌های گوگردی موجود در سوخت‌های گوناگون [۳، ۴]

نوع سوخت	نقطه جوش (°C)	ترکیب‌های گوگردی	کاربرد
بنزین	۲۵-۲۲۵	مرکاپتان‌ها، سولفیدها، دی‌سولفیدها، تیول، تیوفن، ۲-متیل‌تیوفن، ۳-متیل‌تیوفن، ۴،۲-دی‌متیل‌تیوفن، بنزوتیوفن، ۲-متیل‌بنزوتیوفن	سوخت متداول برای خودروها
جت	۱۳۰-۳۰۰	مرکاپتان‌ها، بنزوتیوفن، ۲-دی‌متیل‌بنزوتیوفن، ۲،۳،۷-تری‌متیل‌بنزوتیوفن، ۴،۳،۷-تری‌متیل‌بنزوتیوفن	سوخت هوایپما
دیزل	۱۳۰-۳۸۰	۷،۳،۲-تری‌متیل‌بنزوتیوفن، ۲،۴،۳،۷-تری‌متیل‌بنزوتیوفن، دی‌بنزوتیوفن، ۴،۶-دی‌متیل‌دی‌بنزوتیوفن، ۲،۴،۶-تری‌متیل‌دی‌بنزوتیوفن	سوخت متداول در حمل و نقل (سوخت کامیون‌ها و اتوبوس‌ها)



(ب)



(الف)

شکل ۱. زئولیت ZSM-۱۱ (الف) ساختار MEL [۲۱] (ب) کاتالالهای مقاطع عمودبرهم [۲۴]

هشت حلقه‌ی پنج عضوی است که در این حلقه‌ها آلومنیوم و سیلیسیم در رأس‌ها قرار دارند. پنتاسیل‌ها توسط اکسیژن پل زده شده به‌یک‌دیگر متصل و زنجیرهای پنتاسیل را به وجود می‌آورند. این زنجیرها به صورت وارون کتار هم قرار گرفته و ساختار MEL را تشکیل می‌دهند [۲۲]. در شکل ۱ ساختار MEL و شکل کاتالالهای که به صورت کاتالالهای مقاطع عمودبرهم می‌باشد نشان داده شده است. از معیارهای بسیار مهم در انتخاب کاتالیست برای مقیاس صنعتی، کاتالیستی با کارآیی بالا و هزینه‌ی سنتز پایین می‌باشد بنابراین در میان کاتالیست‌های ناهمنگ، زئولیت‌ها بسیار مورد توجه پژوهشگران قرار گرفته است. در سال ۲۰۱۸ میلادی، دملو^۱ و همکاران عملکرد زئولیت‌های ZSM-۵ NaX و NaY و موردنیت در واکنش گوگردزدایی اکسایشی بررسی کردند. در این کار، ۱ درصد وزنی از وانادیوم یا منگنز روی زئولیت‌ها تثبیت و به عنوان کاتالیست برای حذف دی‌بنزوتیوفن از سوخت دیزل استفاده شد. زئولیت ZSM-۵ تثبیت شده با وانادیوم به علت اسیدیتّه مناسب و پراکندگی درخشان وانادیوم بالاترین درصد حذف گوگرد با بازده ۸۰٪ را در مقایسه با سایر کاتالیست‌ها نشان داد [۲۵]. در سال‌های اخیر مطالعه‌های بسیاری

هرچند این سوخت‌ها دارای مقدارهای بیشتری از ترکیب‌های آروماتیک گوگردی می‌باشند [۵-۷]. بنابراین فرایندهای گوگردزدایی که منجر به حذف ترکیب‌های گوگردی آروماتیک از سوخت می‌شود بسیار مورد توجه قرار گرفته است.

گوگردزدایی هیدروژنی از فرایندهای کارآمد برای حذف گوگرد از نفت است ولی این روش قادر به حذف ترکیب‌های گوگردی آروماتیکی نمی‌باشد [۸-۱۰]. حذف ترکیب‌های گوگردی آروماتیک نیازمند دما و فشارهای بالاتر، استفاده از مقدار کاتالیست بهنسیت زیاد، زمان طولانی‌تر و در نتیجه راکتور بزرگ‌تر است. ایجاد این تغییرها هزینه‌های عملیاتی سنگین و فشار اقتصادی بالایی به واحدهای صنعتی تحمیل می‌کند [۱۱، ۱۲]. بنابراین با توجه به دلیل‌های گفته شده، روش‌های گوگردزدایی غیرهیدروژنی با شرایط عملیاتی ملایم و هزینه‌های پایین مانند گوگردزدایی اکسایشی^۲ به عنوان فرایندهای جایگزین و یا مکمل مورد توجه قرار گرفته و در حال تجاری‌سازی است [۱۱-۱۳].

با توجه به الزام‌های اعمال شده از طرف مجتمع جهانی و اعلام استانداردهای مجاز گوگرد، سنتز زئولیت با بالاترین بازده و قیمت مناسب در راستای تولید سوخت‌های نفتی با کمترین میزان گوگرد دارای اهمیت می‌باشد [۱۴-۱۷]. ZSM-۱۱ زئولیتی با کاتالالهای سه بعدی و منافذ ده麟ه‌ای است و به علت گزینش پذیری یگانه، اسیدیتّه جامد، قابلیت تبعیض یونی، پایداری گرمایی و ساختار شبکه‌ای کاربرد گسترده‌ای به عنوان کاتالیست در صنایع نفت و پتروشیمی دارد [۱۸]. زئولیت ZSM-۱۱^۳ برای اولین بار در سال ۱۹۷۸ میلادی ثبت [۱۹] و ساختار زئولیت توسط کوکوتایلو^۴ و همکاران در سال ۱۹۷۸ میلادی شناسایی شد [۲۰]. یک زئولیت سنتزی است که به دلیل کاتالالهای مستقیم مقاطعه کد سه حرفي MEL^۵ به آن اختصاص یافته [۲۱] و مشکل از واحدهای پنتاسیل^۶ می‌باشد. یک واحد پنتاسیل شامل

^(۱) Oxidative desulfurization (ODS)^(۲) Kokotailo^(۳) Pentasil^(۴) Zeolite Socony Mobil No. 11^(۵) ZSM-11 (Eleven)^(۶) De Mello

و بنابراین حلال‌های مناسب‌تری می‌باشند. رفیعی^۳ و همکاران از کاتالیست CoFe@Si-PW در حضور اکسیدکننده‌ی هیدروژن پراکسید و حلال اتانول برای حذف انتخابی ترکیب‌های گوگردی از مدل نفتی استفاده کردند. همچنین تأثیر دما، نسبت مولار اکسیدکننده به ترکیب گوگردی و مقدار کاتالیست را بر روی اکسیداسیون متیل فنیل سولفید به متیل فنیل سولفون در حضور کاتالیست بررسی کردند [۳۴]. جین^۵ و همکاران کامپوزیت Ti-HMS/TS-1 با دو فاز مزوحفه و میکروحفه سترکردن که فعالیت بالایی در اکسیداسیون ترکیب‌های گوگردی موجود در مدل نفتی داشت و در شرایط ۱۰mL مدل سوختی، ۱۰mL متابولو به عنوان حلال ، mg H₂O₂/S = ۴:۱ دما ۶۰°C درصد حذف گوگرد نزدیک به ۱۰۰ گزارش شد [۳۵].

هدف از کار حاضر پیشنهاد و استفاده از N,N-دی‌اتیل آنیلین به عنوان قالب برای سنتز دانه و سنتز زئولیت ZSM-11 با روش دانه است. در این پژوهش، ZSM-11 با روش دانه سنتز و بهینه‌سازی شد و از قالب پیشنهادی N,N-دی‌اتیل آنیلین به عنوان هدایت کنندهٔ ساختار استفاده شد. مطالعه حاضر نشان داد که حذف ترکیب‌هایی ساختار استفاده شد. مطالعه حاضر نشان داد که حذف ترکیب‌های گوگردی آروماتیک با استفاده از این زئولیت دارای بازدهی بسیاری بالایی است. زئولیت مورد استفاده در این پژوهش نسبت به سایر زئولیت‌های مورد استفاده در گوگردزدایی اکسایشی دارای کارآبی بالاتر با هزینه‌ی کمتر می‌باشد.

بخش تجربی

مواد و تجهیزات

سیلیکا (ذررهای ۳۰-۲۰nm، سطح ویژه/g ۱۹۳ m^۳/g، چگالی ۱۷۰kg/m^۳)، سدیم آلومینات (شرکت کوسداک^۶، سدیم هیدروکسید (قطران شیمی تجهیز - ایران)، N,N-دی‌اتیل آنیلین (مرک) و آب مقطر دو بار تقطیر در سنتز زئولیت استفاده شد. برای تبادل یونی از نیتریک اسید (مرک)، سیتریک اسید (مرک)، مولیبدن اکسید (مرک)، وانادیوم کلرید (مرک)، لانتانیوم نیترات (مرک)، کبالت نیترات (مرک)، مس نیترات (مرک)، سدیم اکسید (یواس ریسرچ^۷) و تست کاتالیستی زئولیت سنتز شده در واکنش گوگردزدایی از n - هیتان (رنکم^۸) دی‌بنزوتویوفن (مرک) اتانول مطلق (قطران شیمی)، هیدروژن پراکسید (مرک، ۳۰ درصدوزنی) استفاده شد.

درباره‌ی مولیبدن ثبت شده روی پایه^۱ به دلیل فعالیت کاتالیستی درخشان در واکنش گوگردزدایی اکسایشی انجام شده است [۲۶]. سیکاروار^۹ و همکاران فلز مولیبدن را روی ساختار مزوحفه MCM-41 بارگذاری کرده و نشان دادند بازده حذف دی‌بنزوتویوفن در شرایط بهینه با استفاده از تترابوتیل‌هیدروکسید به عنوان اکسیدکننده نزدیک به ۹۴٪ می‌باشد [۱۲]. عبدالله^{۱۰} و همکاران کاتالیست دوفلزی Mn/Ce/Al₂O₃ برای واکنش گوگردزدایی اکسایشی پیشنهاد کردند و نشان دادند که کاتالیست سنتز شده نسبت به کاتالیست تک فلزی سریم و منگنز دارای فعالیت کاتالیستی بهتری می‌باشد. بازده حذف ترکیب‌های گوگردی آروماتیک در حضور عامل اکسیدکنندهٔ تترابوتیل‌هیدروکسید بالای ۹۰٪ گزارش شد [۲۷].

از زمان کشف ZSM-11 به طور معمول از قالب تترا بوتیل آمونیوم بر می‌برای سنتز استفاده می‌شود [۲۸]. سنتز زئولیت با استفاده از قالب آلی دارای مشکل‌هایی مانند گران بودن قالب، حذف قالب بدون صدمه زدن به ساختار کریستالی، مصرف انرژی و زمان برای حذف قالب می‌باشد و همچنین قالب‌های آلی مورد استفاده بیشتر سمی بوده و آلودگی زیست محیطی ایجاد می‌کنند. بنابراین یافتن روشی دیگر برای سنتز زئولیت بدون استفاده از قالب و یا با مقدار قالب کمتر در صنعت دارای اهمیت می‌باشد [۲۹-۳۱].

در روش دانه، بلورهای دانه جایگزین مقدار بسیار بالای قالب در سنتز هستند و مدت زمان سنتز به ویژه دوره‌ی القایی به طور مؤثر کاهش می‌یابد و همچنین باعث بهبود تبلور می‌شود [۳۲]. اکسید فلزهای واسطه مولیبدن، وانادیوم، لانتانیوم، کبالت، مس و سریم بر روی زئولیت ثبت شد و عملکرد کاتالیستی زئولیت‌های سنتز شده در فرایند گوگردزدایی اکسایشی برای مدل نفتی مورد بررسی قرار گرفت. در این کار از هیدروژن پراکسید به عنوان عامل اکسیدکننده و از اتانول به عنوان حلال برای جداسازی ترکیب‌های گوگردی اکسید شده از مدل نفتی استفاده شد. هیدروژن پراکسید (H₂O₂) به دلیل ارزان بودن و زیست سازگاری یکی از اکسیدکننده‌های رایج در فرایند گوگردزدایی اکسایشی می‌باشد [۳۳]. اکسید فلزهای ثبت شده روی زئولیت در حضور هیدروژن پراکسید در یک واکنش برگشت پذیر به گونه‌ی فعال پراکسو و آب تبدیل می‌شوند و گونه‌ی فعال پراکسو منجر به اکسید شدن ترکیب‌های گوگردی می‌شود. الكل‌ها نسبت به سایر حلال‌های مورد استفاده به علت سمیت پایین تر و ویژگی تجدیدپذیری زیان‌های کمتری برای انسان‌ها و محیط زیست دارند

(۱) Support

(۲) Sikarwar

(۳) Abdullah

(۴) Rafiee

(۵) Jin

(۶) US Research

(۷) Kosdaq Company

(۸) RANKEM

همزن مغناطیسی و در دمای محیط یکنواخت شد. ژل به دست آمده به اتوکلاو ضد زنگ منتقل شده و به مدت ۷۲ ساعت در دمای 16°C در کوره قرار داده شد. سپس دانه‌های تشکیل شده در اتوکلاو توسط سانتریفوژ (۲۰۰۰ دور در دقیقه) جدا شد. رسوب به دست آمده چندین بار با آب مقطر شستشو داده شد و در آون برای ۸ ساعت در دمای 100°C خشک و به منظور کلسینه کردن در کوره در دمای 55°C به مدت ۵ ساعت قرار گرفت [۲۴].

در جدول ۲ مقدار گرم افزوده شده سیلیکا برای تهیه سیلیکازل و نسبت Si/Al نظری برای زئولیت‌های سنتز شده با نسبت گوناگون Si/Al نشان داده شده است.

سنتز زئولیت

۲/۲g سدیم هیدروکسید و $40\text{ g}/\text{L}$ سدیم آلومنیات در 25 mL مقطر حل شده و به مدت یک ساعت در دمای محیط همزده شد (0°C). سیلیکازل ($90\text{ g}/\text{L}$ سیلیکا با 35 mL آب مقطر) و $1\text{ g}/\text{N-N-Diethylaminobenzyl}$ در 15 mL آب مقطر حل شد و محلول به مدت یک ساعت در دمای محیط همگن شد (محلول ۱). در ادامه محلول‌های 1 و 2 با یکدیگر مخلوط شده و به مدت یک ساعت روی همزن دلخواه (AZ-۱۰) به محلول افزوده شد و دوباره به مدت ۳ ساعت مخلوط شد. ژل بدست آمده، به اتوکلاو ضد زنگ انتقال یافته و به مدت ۴۸ ساعت در دمای 170°C در کوره قرار داده شد. فراورده به دست آمده سانتریفوژ شده (۲۰۰۰ دور بر دقیقه) و با آب مقطر شستشو داده شد. رسوب به دست آمده در دمای 100°C و به مدت ۸ ساعت در آون خشک و سپس جامد در کوره با دمای 55°C برای ۲ ساعت کلسینه شد [۳۶].

تبادل یونی با فلزهای واسطه

$10\text{ mol}/\text{L}$ اسید فلز مورد نظر در 20 mL نیتریک اسید ($2\text{ mol}/\text{L}$) حل شده سپس $316\text{ g}/\text{L}$ سیتریک اسید به محلول افزوده شد و با همزن مغناطیسی در دمای محیط مخلوط شد. از نیتریک اسید برای انحلال فلزها استفاده شد و کاتیون‌های فلز کمپلکس‌های کیلیتی به طور کامل پایدار با سیتریک اسید تشکیل می‌دهند. به طور معمول از نیترات فلزهای واسطه برای تبدال یونی استفاده می‌شود ولی با توجه به این که هدف تثبیت

جدول ۲. مقدار افزوده شده سیلیکا برای تهیه سیلیکازل

نسبت Si/Al نظری	نام اختصاری زئولیت	مقدار گرم افزوده شده سیلیکا (g)
۵۲/۳۸	AZ-۵۲	۱۵/۰۲۰
۳۳/۸۲	AZ-۳۳	۹/۷۶۳
۲۰/۸۱	AZ-۲۰	۶/۰۰۸
۱۰/۴۰	AZ-۱۰	۳/۰۰۴

در این پژوهش طیف‌های IR با دستگاه اسپکتروسکوپی فروسرخ بروکر^۱ و در محدوده 4000 cm^{-1} $- 4000\text{ cm}^{-1}$ ثبت شده‌اند. از تصویرهای میکروسکوپ الکترونی روبشی (شرکت تی اسکن^۲ و فنوم^۳) برای تعیین ریخت‌شناسی و اندازه متوسط ذره‌ها استفاده شد و با طیف سنجی پراش انرژی پرتو ایکس رونتک^۴ نسبت Si/Al دانه‌های سنتز شده بررسی شد. به منظور تعیین ساختار بلوری زئولیت از دستگاه پرس سنج پرتو ایکس شرکت فیلیپس^۵ (آند: کبات)، طول موج: 1.7889\AA ، قدرت: $40\text{ KV}/40\text{ Ma}$ از دستگاه میکرومتریکس تری استار^۶ استفاده شد. آزمون کروماتوگرافی گازی توسط دستگاه آجیلت^۷ 6890 N انجام شد و برنامه‌ی دمایی مورد استفاده بدین شرح می‌باشد: دمای آون ابتدا 60°C تنظیم بود که برای یک دقیقه در این دما باقی می‌ماند و سپس این دما با سرعت $20^{\circ}\text{C}/\text{min}$ به دمای 250°C رسید؛ دمای محل تزریق 275°C و دمای دکتور 285°C در نظر گرفته شد. نوع ستون مویی، نوع دکتور FID، حجم تزریقی 1 \mu L و گاز حامل ازت می‌باشد.

سنتز دانه

مقدارهای $1/6\text{ g}$ سدیم هیدروکسید و $40\text{ g}/\text{L}$ سدیم آلومنیات در 15 mL آب مقطر حل شد. فراورده به دست آمده به مدت یک ساعت در یک بشر با استفاده از همزن مغناطیسی در دمای محیط همزده شد (محلول ۱). مقدار گرم مشخصی از سیلیکا با 35 mL آب مقطر به منظور تهیه سیلیکازل مخلوط شد و به مدت سی دقیقه همگن شد. سپس مقدار $1/5\text{ mL}$ از $\text{N-N-Diethylaminobenzyl}$ به همراه 10 mL آب مقطر به سیلیکازل افزوده شد و به مدت یک ساعت همزده شد (محلول ۲). دو محلول تهیه شده با هم مخلوط شده و به مدت چهار ساعت روی

(۱) Bruker FT-IR model Tensor 27 Spectrometer

(۲) Model Phenom – ProX

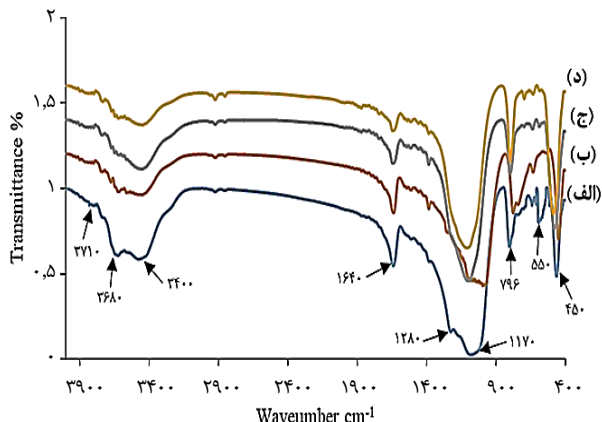
(۳) Philips X-ray diffractometer

(۴) Agilent

(۵) Model Vega3 Tescan

(۶) Rontec, USA

(۷) Micromeritics TriStar II



شکل ۲. مقایسه طیف‌های زیرقرمز دانه‌های ستتر شده با نسبت گوناگون (الف) AZ-۵۲ (ب) AZ-۳۳ (ج) AZ-۲۰ (د) AZ-۱۰ (e) AZ-۲۰۰ (f) AZ-۵۲۰ Si/Al

نتیجه‌ها و بحث

IR آنالیز

شکل ۲ طیف‌های فروسرخ مربوط به دانه‌های ستتری AZ-۵۲، AZ-۳۳، AZ-۲۰، AZ-۱۰ و AZ-۲۰۰ با قالب N-Dی‌اتیل‌آنیلین است. نوارهای جذبی موجود در ۴۵۰، ۳۶۸۰، ۳۴۰۰، ۱۶۴۰، ۱۱۷۰، ۷۹۶، ۳۷۱۰ cm⁻¹ در چهار دانه‌ی ستتر شده دیده می‌شوند. نوارهای جذبی در ۵۵۰ و ۱۲۸۰ cm⁻¹ که نشان‌دهنده‌ی حضور دوتایی حلقه‌های پنتاسیل (D5R^۳) در ساختار زئولیت ZSM-۱۱ است با کاهش نسبت Si/Al در طیف زیرقرمز به‌خوبی ظاهر می‌شوند [۳۲].

باند جذبی موجود در ۴۵۰ cm⁻¹ مربوط به ارتعاش خمشی به‌دست‌آمده از Si-OH و باندهای جذبی در ۷۹۶ و ۱۱۷۰ cm⁻¹ به ترتیب مربوط به ارتعاش کششی نامتقارن بیرونی و درونی پیوندهای پل‌زده Si-O-T (T نمادی از Al و Si چهاروجبه) می‌باشند. نوار جذبی در ۱۶۴۰ cm⁻¹ مربوط به آب جذب شده و نوارهای جذبی موجود در ۳۶۸۰، ۳۴۰۰ و ۳۷۱۰ cm⁻¹ به ترتیب مربوط به ارتعاش کششی OH در پل-Si-OH، Al-OH و OH-Al انتهایی می‌باشند.

EDS آنالیز

در شکل ۳، طیف پرتو انرژی پراش ایکس دانه‌های ستتر شده با نسبت‌های متغیر Al/Si دیده می‌شود. پیک‌های مربوط به عنصرهای سیلیسیم، آلومینیوم، اکسیژن و سدیم در چهار دانه شناسایی شده‌اند که همگی مربوط به ترکیبات افزوده شده در واکنش می‌باشند. نسبت Al/Si از پارامترهای بسیار مهم در زئولیت می‌باشد که مقاومت

اکسید فلزهای واسطه روی زئولیت است در این کار اکسید فلزهای مانند مولیبدن و سریم در نیتریک اسید حل شد. مقدار معینی از زئولیت (نسبت وزنی اکسید فلز مورد استفاده به زئولیت ۱۱: ZSM-۱۱ در نظر گرفته شد) به محلول بالا افزوده و هم‌زده شد. محلول در حمام آب گرم با دمای ۶۰°C تا تشکیل یک ژل چسبناک قرار داده شد. ژل به دست‌آمده به مدت سه روز در دمای محیط نگه داشته شد و سپس در دمای ۱۲۰°C به مدت ۱۲ ساعت در آون خشک شد و در کوره با دمای ۵۰۰°C برای ۵ ساعت کلسینه شد [۳۷]. این روش نسبت به سایر روش‌های تبادل یونی به دلیل تشکیل ژل منجر به پراکندگی عالی اکسید فلز روی سطح زئولیت می‌شود که تأثیر چشمگیری روی کارآیی کاتالیست دارد.

مدل سوختی

مدل سوختی شامل هیدروکربن-n-هپتان و ترکیب گوگردی آروماتیک دی‌بنزوتیوفن (DBT^۱) است. از هیدروژن پراکسید به عنوان عامل اکسید کننده و از اتانول به عنوان حلال برای جداسازی دی‌بنزوتیوفن اکسید شده استفاده شد [۳۴]. ترکیب‌های گوگردی در سوخت پس از سوخت منجر به تولید گاز آلائیندی گوگرد دی‌اکسید می‌شوند. با توجه به این که سوخت متداول خودروها بنزین است بنابراین در این کار حذف ترکیب گوگردی دی‌بنزوتیوفن از مدل نفتی نرمال هپتان مورد بررسی قرار گرفت.

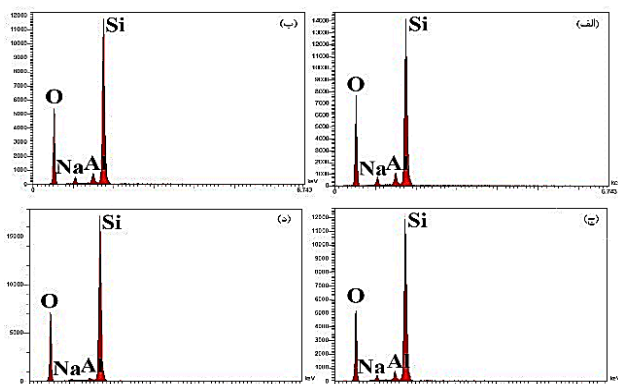
۰/۱g دی‌بنزوتیوفن جامد و مقدار معینی از کاتالیست وزن شده و به بالن ۲۵cc منتقل شده و در ۰/۵mL-n-هپتان و ۵mL اتانول (نسبت ۱:۱ حجمی) حل شد و در ادامه ۰/۵mL هیدروژن پراکسید به بالن افزوده شد. با توجه به عملکرد واکنش در دمای بالا و بهمنظور جلوگیری از تبخیر مخلوط واکنش، بالن به یک سامانه کندانسور وصل شد. برای کنترل دمای سامانه، محفظه‌ی واکنش در درون حمام روغن قرار داده شد و توسط دماسنجه جیوهای دمای واکنش کنترل شد. مخلوط واکنش تا پایان زمان توسط همزن مغناطیسی هم‌زده شد. پس از پایان واکنش، محلول به دست‌آمده سانتریفوژ شده ۲۵۰ دور بر دقیقه به مدت ۱۰ دقیقه) و دو فاز از هم جدا شده و بهمنظور بررسی میزان حذف دی‌بنزوتیوفن دو فاز مدل نفتی و حلال با استفاده از دستگاه کروماتوگرافی گازی مورد آنالیز قرار گرفت.

درصد تبدیل گوگرد در مدل نفتی از رابطه (۱) محاسبه شد [۳۸، ۳۹]:

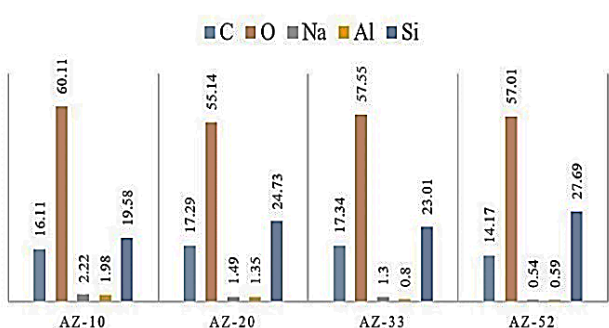
$$\% \text{Conversion} = \frac{C_0 - C_t}{C_0} \times 100 \quad (1)$$

در رابطه‌ی بالا C_0 مقدار گرم اولیه دی‌بنزوتیوفن و C_t مقدار گرم دی‌بنزوتیوفن باقی‌مانده پس از انجام واکنش است.

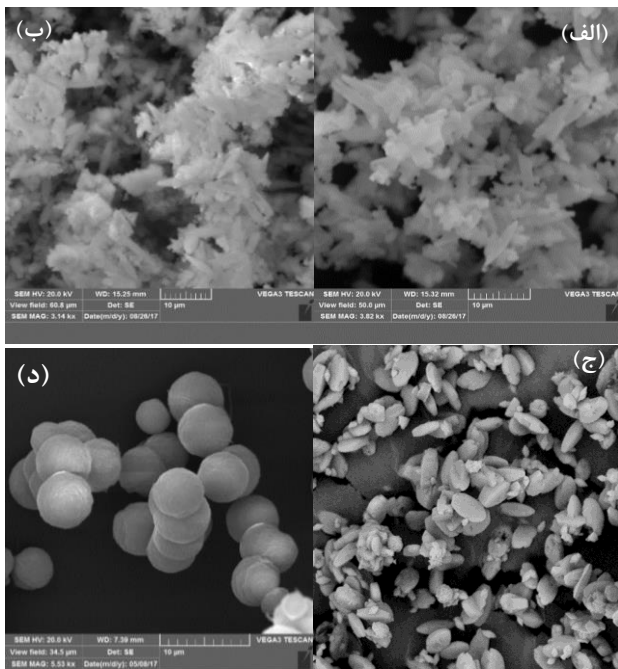
(۲) Double 5-ring



شکل ۳. طیف پرتو انرژی پراش ایکس (الف) AZ-۱۰ (ب) AZ-۲۰ (ج) AZ-۳۳ (د) AZ-۵۲



شکل ۴. مقایسه بین درصد جرمی عناصر موجود در دانه‌های گوناگون



شکل ۵. تصویرهای میکروسکوپ الکترونی دانه‌های (الف) AZ-۵۲ (ب) AZ-۱۰ (ج) AZ-۲۰ (د) AZ-۳۳

اسیدی، پایداری هیدروترمالی، آبگریزی و ظرفیت تبادل یونی زئولیتها را تحت تأثیر قرار می‌دهد [۴۰-۴۳]. نتیجه‌های به دست آمده از طیف پرتو انرژی پراش ایکس نشان می‌دهد نسبت Si/Al در دانه با نسبت‌های بالا در تمامی نقاط یکسان نیست و همچنین با مقدار Si/Al افزوده شده به محلول اولیه اختلاف دارد ولی با کاهش نسبت Si/Al این تغییرها کاهش می‌یابد. در AZ-۱۰ نسبت Al افزوده شده به محلول ژل اولیه برابر با ۱۰/۴۰ بود که با نسبت به دست آمده از نتیجه‌های طیف پرتو انرژی پراش ایکس اختلاف بسیاری نداشته و این نسبت در همه نقاط گرفته شده به تقریب یکسان است. این موضوع بیانگر این می‌باشد سیلیسیم اولیه وارد ساختار شده و روش سنتز و دما به طور مناسب انتخاب شده است.

مقایسه بین درصد جرمی عنصرهای موجود در دانه‌های گوناگون سنتز شده در شکل ۴ آورده شده است.

آنالیز SEM

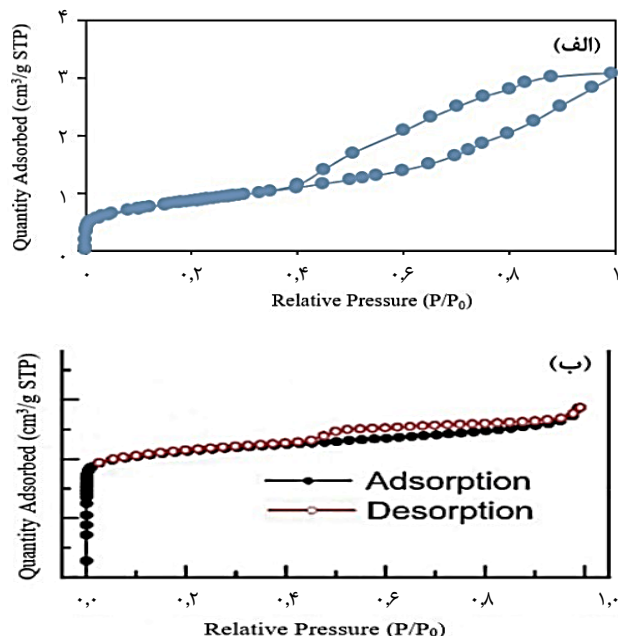
شکل ۵ تصویرهای میکروسکوپ الکترونی روبشی دانه‌های سنتز شده با نسبت‌های متفاوت Si/Al را نشان می‌دهد. همان‌گونه که در تصویرها دیده می‌شود در زئولیتها AZ-۵۲ (الف) و AZ-۳۳ (ب) ذره‌های بهم چسبیده می‌باشند و در زئولیت AZ-۲۲ (ج) ذره‌ها دارای ساختار بیضی است و در برخی ناحیه‌ها ذره‌های بهم چسبیده نیز دیده می‌شود. در زئولیت AZ-۱۰ (د) ذره‌ها به صورت کروی و یکنواخت و بدون الگوم شدن سنتز شده و از این رو می‌تواند عملکرد مناسبی به عنوان کاتالیست در واکنش داشته باشد.

تصویرهای SEM نشان می‌دهد که ریخت‌شناصی و اندازه ذره‌های سنتز شده در نسبت‌های گوناگون با Si/Al با یکدیگر متفاوت است و با کاهش نسبت Si/Al اندازه ذره‌ها کاهش می‌یابد. این تفاوت به علت متفاوت بودن مقدار آلومینیوم در ژل اولیه است بنابراین می‌توان نتیجه گرفت که مقدار آلومینیوم بر روی ریخت‌شناصی و اندازه ذره‌ها تأثیرگذار است [۴۴]. در فرایند تبلور برای تشکیل ساختار زئولیت نخست چارچوب سیلیکا با ساختار MEL تشکیل می‌شود و سپس ساختار به طور جزئی در محیط بازی حل می‌شود و آلومینیوم با بار مثبت هنگام تبلور دوباره به شبکه متصل می‌شود [۴۵].

با توجه به نتیجه‌های SEM و EDS و FT-IR از دانه‌های سنتز شده با مقدار سیلیسیم به آلومینیوم گوناگون می‌توان نتیجه گرفت که ZSM-11 با نسبت $\text{Al}/\text{Si} = 10/40$ دانه‌ی مناسب برای سنتز با روش دانه است.

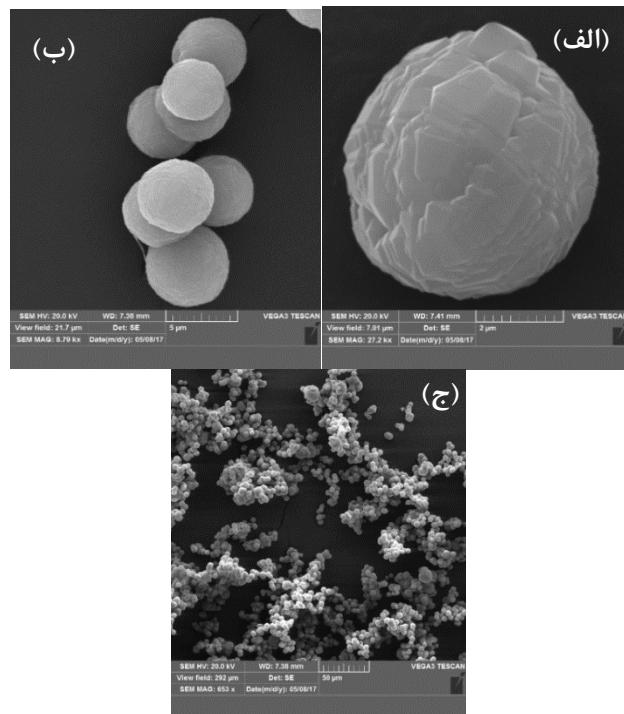
جدول ۳. داده‌های مساحت و حجم حفره در زئولیت ZSM-11 با قالب N,N-دی‌اتیل‌آنیلین

متوسط اندازه حفرات (nm) (BJH)	حجم حفرات (m ² /g)	مساحت سطح خارجی (m ² /g)	مساحت سطح کل (m ² /g) (BET)	نام زئولیت
۵	۰.۹۸	۲۹۲	۳۴۶	ZSM-11



شکل ۷. مقایسه‌ی هم‌دمای جذب و اجاد نیتروژن ZSM-11 با قالب‌های متفاوت (الف) N,N-دی‌اتیل‌آنیلین (ب) ترا بوکیل آمونیوم برミد (ستتر شده توسط یووه‌همکاران [۴۸])

شکل (الف) ۷ هم‌دمای جذب و اجاد نیتروژن ZSM-11 ستتر شده با قالب N,N-دی‌اتیل‌آنیلین را نشان می‌دهد. وجود حلقه‌ی هیسترسی در فشار نسبی بالا بین ۰-۱۰ بینگر مزوحفه بودن ساختار زئولیت است. شکل (ب) ۷ هم‌دمای جذب و اجاد نیتروژن ZSM-11 ستتر شده با قالب متداول ترباوتیل آمونیوم برミد توسط یووه‌همکاران را نشان می‌دهد [۴۸]. همان‌گونه که دیده می‌شود حلقه‌ی هیسترسی جذب روشن و قابل دیدن ندارد. بر اساس طبقه‌بندی IUPAC نمودارهای هم‌دمای زئولیت ZSM-11 مطابق با هیرید نوع IV می‌باشند. در جدول ۳ داده‌های مساحت سطح کل و خارجی، حجم و متوسط اندازه روزنلهای زئولیت ستتر شده با قالب N,N-دی‌اتیل‌آنیلین به دست آمده از آنالیز BET نشان داده شده است. حجم روزنلهای ایجاد شده در زئولیت ستتر شده در مقایسه با زئولیت ستتر شده با قالب ترباوتیل آمونیوم برミد که در مقاله‌ها حدود ۰.۵۰ m²/g گزارش شده است [۲۸, ۲۴]، بسیار بیشتر می‌باشد



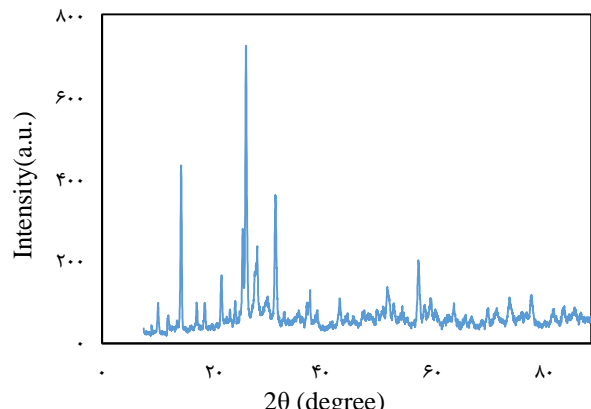
شکل ۶. تصویرهای میکروسکوپ الکترونی روبشی ZSM-11 (الف) ذره‌ی کروی ستتر شده (ب) قطر متوسط ذره‌ها تقریباً ۵ μm (ج) توزیع و یکنواختی ذره‌ها

شکل ۶ تصویرهای میکروسکوپ الکترونی روبشی ZSM-11 ستتر شده با روش دانه را نشان می‌دهد. دیده‌می شود که ذره‌ها به صورت کره‌ای جدا از هم و یکنواخت ستتر شده‌اند و قطر متوسط این کره‌ها به تقریب ۵ میکرومتر است. نبود به هم‌چسبیدگی ذره‌ها و یکنواختی اندازه آن‌ها عامل مؤثری در بهبود کیفیت زئولیت است. در شکل (الف) کروی بودن ذره‌ی ستتر شده و در شکل (ب) اندازه‌ی ذره‌ها و در شکل (ج) توزیع و یکنواختی ذره‌ها و نبود به هم‌چسبیدگی ذره‌ها به خوبی قابل دیدن است.

آنالیز BET

زئولیت ZSM-11 دارای روزنلهای در حدود ۰.۵۳ nm × ۰.۵۴ nm است [۱۸, ۴۶] که به دلیل حجم روزنلهای کوچک کارایی آن در واکنش کاهش می‌یابد. حجم روزنلهای بزرگ‌تر منجر به افزایش میزان نفوذ ترکیبات گوگردی آروماتیک شده و همچنین از غیرفعال شدن کاتالیست به دلیل بلوک شدن روزنلهای جلوگیری می‌کند. بنابراین ستتر زئولیت با حجم بیشتر به دلیل بلوک شدن روزنلهای جلوگیری می‌کند. بنابراین ستتر زئولیت با حجم بیشتر به دلیل بلوک شدن روزنلهای جلوگیری می‌کند. بنابراین ستتر زئولیت کاتالیست در واکنش می‌شود [۴۷].

و تشکیل ساختار MEL می‌دهند. بنابراین این احتمال وجود دارد که افزون بر سنتز زئولیت مورد نظر ZSM-۵ نیز به مقدار کمی سنتز شده باشد [۲۸]. مواد گوناگون به دلیل چیدمان و نظم‌های متفاوت اتمی دارای الگوی پراش متفاوتی هستند و الگوی پراش هر ترکیب یگانه است و هر ترکیب شیمیابی یا کانی با ساختار بلوری مشخص، یک کارت استاندارد دارد و با مقایسه نمودار حاصل با استانداردهای موجود نوع فاز ماده‌ی مجھول مشخص می‌شود. نتیجه‌ها نشان می‌دهد که زئولیت ZSM-۱۱ دارای فرمول شیمیابی $\text{Al}_{3.58}\text{Na}_{14.88}\text{O}_{96}\text{Si}_{32.74}$ ، فرمول تجربی $\text{Al}_{3.58}\text{Na}_{14.88}\text{O}_{96}\text{Si}_{32.74}$ و سامانه بلوری تراگونال می‌باشد.



شکل ۸. الگوی پراش پرتو ایکس زئولیت ZSM-۱۱
(آند کالت، 40 mA ، 40 KV ، $\lambda\text{K}_{\alpha}=1/\text{\AA}$ ، $2\theta=8\text{--}80^\circ$)

بینه‌سازی شرایط واکنش

برای یافتن شرایط بهینه، واکنش در شرایط گوناگون دما، مقدار کاتالیست و زمان واکنش انجام شد. در ابتدا از Mo/ZSM-۱۱ برای بهدست آوردن دما و مقدار کاتالیست بهینه استفاده شد و در دما و مقدار کاتالیست بهینه شده زمان واکنش گوگردزدایی برای Mo/ZSM-۱۱ و سایر کاتالیست‌های سنتز شده بهینه شد.

شکل (الف) ۹ درصد تبدیل تبدیل دی‌بنزوتیوفن در مقابل دما را نشان می‌دهد. برای بهینه‌کردن دمای واکنش به جز دما باید سایر پارامترها (مقدار کاتالیست، زمان واکنش) ثابت در نظر گرفته شود. زمان واکنش ۱۸۰ min و مقدار کاتالیست 0.05 g در نظر گرفته شد. واکنش در شش دمای ۲۵، ۴۰، ۶۰، ۸۰ و 100°C انجام شد و دمای بهینه 100°C در انتخاب شد. دمای واکنش گوگردزدایی اکسایشی از عامل‌های اصلی و بسیار تأثیرگذار است. انجام واکنش در دمای محیط رضایت بخش نبوده و با افزایش دما درصد تبدیل دی‌بنزوتیوفن افزایش می‌یابد.

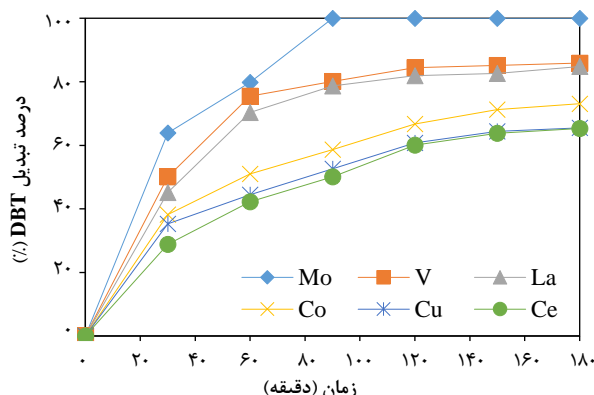
شکل (ب) ۹ درصد تبدیل دی‌بنزوتیوفن در مقابل مقدار کاتالیست را نشان می‌دهد. برای بهینه‌کردن مقدار کاتالیست بجز مقدار کاتالیست باید سایر پارامترها از جمله دما و زمان واکنش ثابت در نظر گرفته شود. زمان واکنش در کمترین زمان یعنی ۱۸۰ min و دمای بهینه 100°C در نظر گرفته شد. تأثیر مقدار کاتالیست ZSM-۱۱ Mo/ZSM-۱۱ در چهار مقدار شد. از روی شبیه نمودار این نتیجه حاصل می‌شود که افزایش مقدار کاتالیست چشمگیری در پیشرفت و بهبود واکنش گوگردزدایی اکسایشی ندارد و در مقدارهای کم می‌توان به نتیجه‌ی دلخواه دست یافت و این حاکی از فعالیت بسیار بالای کاتالیست سنتز شده است که ناشی از پراکنده‌گی بسیار روزنه‌ها با اندازه‌ی مناسب و همچنین سایتها ایسیدی با ویژگی‌های دلخواه برای این واکنش می‌باشد.

و این به دلیل وجود حلقه‌ی بنزن در ساختار قالب استفاده شده است که منجر به تشکیل روزنه‌های با حجم بیشتر در زئولیت می‌شود.

آنالیز XRD

الگوی XRD مربوط به ZSM-۱۱ با قالب N-Na-Dی‌اتیل آنیلین در شکل ۸ نشان داده شده است. همان‌گونه که در این شکل دیده می‌شود، خطاهای پراش در زاویه‌های 2θ برابر با 10° ، 15° ، 23° ، 25° ، 33° ، 45° و 58° درجه به ترتیب به صفحه‌های بلوری [۱۱۰]، [۲۱۰]، [۳۳۰]، [۵۰۱]، [۳۰۳]، [۰۰۸] و [۱۰۰] در ساختار زئولیت مربوط می‌باشند. پیک‌های دیده شده در زاویه‌های 2θ برابر با 10° ، 15° ، 25° ، 28° و 45° درجه نشان‌دهنده‌ی تشکیل ساختار MEL در زئولیت است [۴۵]. خطاهای تیز موجود در الگوی XRD بر میزان بالای بلوری شدن ذره‌های زئولیت اشاره دارد.

قالب اطراف شبکه آلومینوسیلیکات قرار می‌گیرد بنابراین، اندازه‌ی روزنه‌های زئولیت توسط قالب استفاده شده تعیین می‌شود [۴۹]. قالب به طور مستقیم در شکل گیری چارچوب زئولیت نقش دارد و از ایجاد ناخالصی در ساختار زئولیت جلوگیری می‌کند. قالب پیشنهادی می‌تواند منجر به تغییرهای پارامترهای شبکه از جمله a,b,c تغییر در فاصله بین صفحه‌های بلوری و پارامترهایی مانند a,b,c شود و در نتیجه تغییر موقعیت پیک‌ها در آنالیز XRD شود. ساختار چارچوب ZSM-۱۱ بسیار نزدیک به ZSM-۵ است و هر دو زئولیت متعلق به خانواده پنتاسیل هستند و از واحدهای ساختمنی یکسان پنتاسیل ساخته شده‌اند. در ZSM-۵ لایه‌های پنتاسیل به صورت وارونه کناره هم قرار گرفته و تشکیل ساختار MFI می‌دهند در حالی که در ZSM-۱۱ لایه‌های پنتاسیل به صورت وارون کنار هم قرار گرفته



شکل ۸. تأثیر زمان بر روی درصد تبدیل DBT در واکنش ODS برای کاتالیست‌های تبادل یونی شده با فلزهای واسطه گوناگون (مقدار کاتالیست: $0.5\text{ g}/0.5\text{ g}$ ، دما: 100°C)

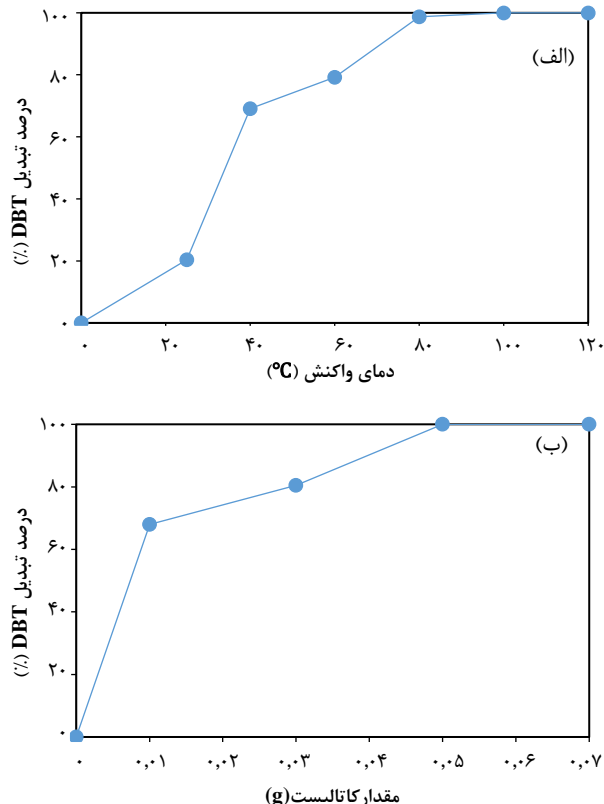
زئولیت بارگذاری شده با فلز در صورتی می‌تواند در واکنش‌های اکسیداسیون عملکرد مناسب داشته باشد که کاتیون فلز در سایت اسید برونسنستد Si-OH-Al مستقر شود و باعث تبدیل سایت اسید برونسنستد قوی به سایت اسید برونسنستد ضعیف با ویژگی خاص شود. همین امر منجر به عملکرد بالای کاتالیست در واکنش اکسیداسیون می‌شود. فلز مولیبden پس از تبادل یونی منجر به تشکیل سایت اسید برونسنستد ضعیف در زئولیت شده و در واکنش گوگرگزدایی اکسایشی درصد تبدیل بالاتری نسبت به سایر فلزهای از خود نشان می‌دهد. بنابراین در این پژوهش زئولیت تبادل یونی شده با فلز مولیبden به عنوان کارآمدترین کاتالیست ناهمگن برای واکنش گوگرگزدایی اکسایشی انتخاب شد.

بررسی مکانیسم واکنش با کاتالیست Mo/ZSM-11

اسید فلز مولیبden به درون کانال زئولیت مهاجرت و با اتم H^+ سایت واکنش داده و گونه‌ی $\text{MoO}_2(\text{OH})$ تشکیل می‌شود، دو گونه‌ی $(\text{MoO}_2(\text{OH}))^{+}$ (با یکدیگر متراکم و دیمر $(\text{Mo}_2\text{O}_5)^{2+}$) و H_2O تشکیل می‌شود [۵۱، ۵۰]. چگونگی قرارگیری اکسید مولیبden در شکل ۱۱ نشان داده شده است. مکانیسم پیشنهادی برای واکنش گوگرگزدایی اکسایشی در حضور کاتالیست ناهمگن تبادل یونی شده با مولیبden اکسید و اکسیدکننده هیدروژن پراکسید شامل سه مرحله ای متوالی است [۵۲، ۵۳] که به طور شماتی در شکل ۱۲ نشان داده شده است.

مرحله ۱- گونه‌ی فعال پراکسو^۱ از واکنش بین عامل اکسیدکننده و اکسید فلز مولیبden ثبت شده در سطح کاتالیست تولید می‌شود. در این مرحله واکنش برای بازسازی کاتالیست باید برگشت‌پذیر باشد.

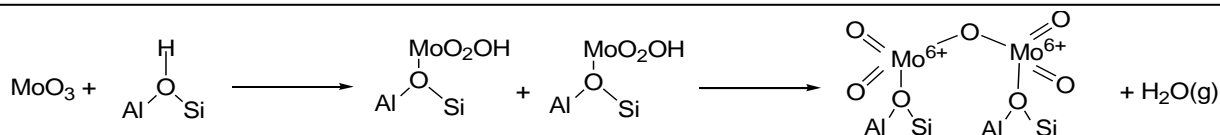
(۱) Active peroxy species



شکل ۹. بررسی اثر پارامترهای گوناگون واکنش (الف) دما و واکنش (ب) مقدار کاتالیست

ZSM-11 با فلزهای واسطه

در شکل ۱۰ ارتباط بین درصد تبدیل دی‌بنزوتیوفن زئولیت تبادل یونی شده با فلزهای واسطه گوناگون بر حسب زمان واکنش نشان داده شده است. واکنش در دماهای بینهایه و مقدار کاتالیست بهینه انجام شد و زمان واکنش در شش زمان 60 min ، 90 min ، 120 min ، 150 min و 180 min مورد بررسی قرار گرفت. همان‌گونه که دیده می‌شود در همه‌ی فلزهای طی بازه‌ی زمانی 30 min تا 90 min درصد تبدیل دی‌بنزوتیوفن به سرعت رو به افزایش است که به دلیل وجود سایت‌های فعال در کاتالیست است و در ادامه با افزایش زمان و کاهش سایت‌های فعال سرعت اکسید شدن کاهش می‌یابد. پس از زمان 90 min درصد تبدیل دی‌بنزوتیوفن به طور چشمگیری تغییر نمی‌یابد. نتیجه‌ها نشان می‌دهد که فلز مولیبden در زمان 90 min با درصد تبدیل 100 % بالاترین درصد تبدیل دی‌بنزوتیوفن را در میان فلزهای واسطه‌ی مورد استفاده دارد. 0.5 g از کاتالیست همه‌ی دی‌بنزوتیوفن در دماهای 100°C و طی زمان 90 min منجر به اکسید شدن ترکیب گوگردی آروماتیک دارد.

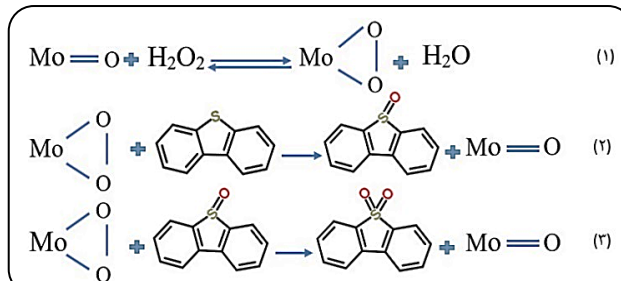


شکل ۱۱. نحوهی قرارگیری مولیبدن اکسید تبادل یونی شده با زئولیت ZSM-۱۱

سترن شد. زئولیت سنتر شده دارای روزنه‌های مزو و مساحت سطح کل ۳۴۶ m²/g می‌باشد و این امر منجر به افزایش کارایی زئولیت در واکنش گوگردزدایی اکسایشی می‌شود. فلزهای واسطه با عملکرد اکسیدکننده مناسب مانند Mo, V, Co, La, Ce, Cu برای تبادل یونی انتخاب شدند و در واکنش گوگردزدایی اکسایشی مورد استفاده قرار گرفتند که فعالیت اکسیداسیون به ترتیب زیر به دست آمد: Mo > V > La > Co > Cu > Ce در دمای ۱۰۰°C با مقدار کاتالیست ۰/۰۵ g/Mo/ZSM-۱۱ در زمان ۹۰ min با درصد تبدیل دی‌بنزوتیوفن ۱۰۰ داشت.

قدرتانی

نویسنده‌گان بدینوسیله مراتب تشرک و قدردانی خود را از دانشگاه الزهرا (س) اعلام می‌دارند.



شکل ۱۲. سه مرحله متوالی فرایند گوگردزدایی اکسایشی

مرحله ۲- اتم گوگرد در ساختار دی‌بنزوتیوفن به گونه‌ی الکترون دوست پراکسو حمله می‌کند و سبب اکسید شدن اتم گوگرد و تبدیل آن به دی‌بنزوتیوفن سولفوکسید می‌شود.
مرحله ۳- سولفوکسید به‌وسیله‌ی سایر گونه‌های فعال پراکسو، اکسید شده و دی‌بنزوتیوفن سولفون را تولید می‌کند.

نتیجه‌گیری

در این مقاله، ترکیب آلی N,N-دی‌اتیل‌آنیلین به عنوان یک قالب تازه برای سنتر زئولیت ZSM-۱۱ پیشنهاد شد. ZSM-۱۱ با اندازه ذره‌های یکنواخت و بدون آلگومر و با حفظ ساختار بلوری با روش دانه

مراجع

- [1] Dehghan R., Anbia M., *Zeolites for Adsorptive Desulfurization from Fuels: A Review*, *Fuel Process. Technol.*, **167**: 99-116 (2017).
- [2] Maricq M.M., *Chemical Characterization of Particulate Emissions from Diesel Engines: A Review*, *J. Aerosol Sci.*, **38(11)**: 1079-1118 (2007).
- [3] Song C., *An Overview of New Approaches to Deep Desulfurization for Ultra-Clean Gasoline*, *Diesel Fuel and Jet Fuel, Catal. Today*, **86(1-4)**: 211-263 (2003).
- [4] Betiha M.A., Rabie A.M., Ahmed H.S., Abdelrahman A.A., El-Shahat M.F., *Oxidative Desulfurization Using Graphene and Its Composites for Fuel Containing Thiophene and Its Derivatives: An Update Review*, *Egypt. J. Pet.*, **27(4)**: 175-730 (2018).

- [5] Hao L., Su T., Hao D., Deng C., Ren W., Lü H., **Oxidative Desulfurization of Diesel Fuel with Caprolactam-Based Acidic Deep Eutectic Solvents: Tailoring the Reactivity of DESs by Adjusting the Composition**, *Chin. J. Catal.*, **39(9)**: 1552-1559 (2018).
- [6] Andevary H.H., Akbari A., Omidkhah M., **High Efficient and Selective Oxidative Desulfurization of Diesel Fuel Using Dual-Function [Omim] FeCl₄ as Catalyst/Extractant**, *Fuel Process. Technol.*, **185**: 8-17 (2019).
- [7] Craven M., Xiao D., Kunstmann-Olsen C., Kozhevnikova E.F., Blanc F., Steiner A., Kozhevnikov I.V., **Oxidative Desulfurization of Diesel Fuel Catalyzed by Polyoxometalate Immobilized on Phosphazene-Functionalized Silica**, *Appl. Catal., B*, **231**: 82-91 (2018).
- [8] Méndez F.J., Franco-López O.E., Bokhimi X., Solís-Casados D.A., Escobar-Alarcón L., Klimova T.E., **Dibenzothiophene Hydrodesulfurization with NiMo and CoMo Catalysts Supported on Niobium-Modified MCM-41**, *Appl. Catal., B*, **219**: 479-491 (2017).
- [9] Zhang D., Liu W.-Q., Liu Y.-A., Etim U., Liu X.-M., Yan Z.-F., **Pore Confinement Effect of MoO₃/Al₂O₃ Catalyst for Deep Hydrodesulfurization**, *Chem. Eng. J.*, **330**: 706-717 (2017).
- [10] López-Benítez A., Berhault G., Guevara-Lara A., **NiMo Catalysts Supported on Mn-Al₂O₃ for Dibenzothiophene Hydrodesulfurization Application**, *Appl. Catal., B*, **213**: 28-41 (2017).
- [11] Sun M., Chen W.-C., Zhao L., Wang X.-L., Su Z.-M., **A PTA@ MIL-101 (Cr)-Diatomite Composite as Catalyst for Efficient Oxidative Desulfurization**, *Inorg. Chem. Commun.*, **87**: 30-35 (2018).
- [12] Sikarwar P., Kumar U.A., Gosu V., Subbaramaiah V., **Catalytic Oxidative Desulfurization of DBT Using Green Catalyst (Mo/MCM-41) Derived from Coal Fly Ash**, *J. of Environ. Chem. Eng.*, **6(2)**: 1736-1744 (2018).
- [13] Zeng X ,Xiao X., Li Y., Chen J., Wang H., **Deep Desulfurization of Liquid Fuels with Molecular Oxygen Through Graphene Photocatalytic Oxidation**, *Appl. Catal., B*, **209**: 98-109 (2017).
- [14] Bhutto A.W., Abro R., Gao S., Abbas T., Chen X., Yu G., **Oxidative Desulfurization of Fuel Oils Using Ionic Liquids: A Review**, *J Taiwan Inst Chem Eng.*, **62**: 84-97 (2016).
- [15] Faghihian H., Naeemi S., **Application of a Novel Nanocomposite for Desulfurization of a Typical Organo Sulfur Compound**, *Iran. J. Chem. Chem. Eng. (IJCCE)*, **32(3)**: 9-15 (2013).
- [16] Ahmadi Nasab N., Hassani KumLeh H., Kazemzad M., Ghavipanjeh F., **Application of Spherical Mesoporous Silica MCM-41 for Adsorption of Dibenzothiophene (A Sulfur Containing Compound) from Model Oil**, *Iran. J. Chem. Chem. Eng. (IJCCE)*, **33(3)**: 37-42 (2014).
- [17] Bakhtiari G., Bazmi M., Abdouss M., Royaee S.J., **Adsorption and Desorption of Sulfur Compounds by Improved Nano Adsorbent: Optimization Using Response Surface Methodology**, *Iran. J Chem. Chem. Eng. (IJCCE)*, **36(4)**: 69-79 (2017).

- [18] Dyballa M., Becker P., Trefz D., Klemm E., Fischer A., Jakob H., Hunger M., **Parameters Influencing the Selectivity to Propene in the MTO Conversion on 10-Ring Zeolites: Directly Synthesized Zeolites ZSM-5, ZSM-11, and ZSM-22**, *Appl. Catal., A*, **510**: 233-243 (2016).
- [19] Chu P., **Crystalline Zeolite ZSM-11**, *Google Patents*, 1973.
- [20] Kokotailo G., Chu P., Lawton S., Meier W., **Synthesis and Structure of Synthetic Zeolite ZSM-11**, *Nature*, **275 (5676)**: 119 (1978).
- [21] Vinaches P., Alves J.A.B., Melo D.M., Pergher S.B., **Raw Powder Glass as a Silica Source in the Synthesis of Colloidal MEL Zeolite**, *Mater. Lett.*, **178**: 217-220 (2016).
- [22] Sánchez M., Díaz R.D., Córdova T., González G., Ruette F., **Study of Template Interactions in MFI and MEL Zeolites Using Quantum Methods**, *Micropor. Mesopor. Mat*, **203**: 91-99 (2015).
- [23] Conte M., Xu B., Davies T.E., Bartley J.K., Carley A.F., Taylor S.H., Khalid K., Hutchings G.J., **Enhanced Selectivity to Propene in the Methanol to Hydrocarbons Reaction by Use of ZSM-5/11 Intergrowth Zeolite**, *Micropor. Mesopor. Mat*, **164**: 207-213 (2012).
- [24] Yu Q., Cui C., Zhang Q., Chen J., Li Y., Sun J., Li C., Cui Q., Yang C., Shan H., **Hierarchical ZSM-11 with Intergrowth Structures: Synthesis, Characterization and Catalytic Properties**, *J. Energy. Chem.*, **22(5)**: 761-768 (2013).
- [25] de Mello M.I., Sobrinho E.V., da Silva V.L., Pergher S.B., **V or Mn Zeolite Catalysts for the Oxidative Desulfurization of Diesel Fractions Using Dibenzothiophene as a Probe Molecule: Preliminary Study**, *Mol. Catal.*: (2018).
- [26] Afsharpour M., Amraee A.R., **Synthesis of Bio-Inspired N-Doped SiC and Investigation of Its Synergetic Effects on Mo Catalysts in Oxidative Desulfurization Reaction**, *Mol. Catal.*, **436**: 285-293 (2017).
- [27] Abdullah W.N.W., Bakar W.A.W.A., Ali R., Mokhtar W.N.A.W., Omar M.F., **Catalytic Oxidative Desulfurization Technology of Supported Ceria Based Catalyst: Physicochemical and Mechanistic Studies**, *J. Clean Prod.*, **162**: 1455-1464 (2017).
- [28] Wang X., Chen H., Meng F., Gao F., Sun C., Sun L., Wang S., Wang L., Wang Y., **CTAB Resulted Direct Synthesis and Properties of Hierarchical ZSM-11/5 Composite Zeolite in the Absence of Template**, *Micropor. Mesopor. Mat*, **243**: 271-280 (2017).
- [29] Lai R., Gavalas G.R., **ZSM-5 Membrane Synthesis with Organic-Free Mixtures**, *Micropor. Mesopor. Mat*, **38(2-3)**: 239-245 (2000).
- [30] Majano G., Darwiche A., Mintova S., Valtchev V., **Seed-Induced Crystallization of Nanosized Na-ZSM-5 Crystals**, *Ind. Eng. Chem. Res*, **48(15)**: 7084-7091 (2009).
- [31] Kim S.D., Noh S.H., Seong K.H., Kim W.J., **Compositional and Kinetic Study on the Rapid Crystallization of ZSM-5 in the Absence of Organic Template Under Stirring**, *Micropor. Mesopor. Mat*, **72(1-3)**: 185-192 (2004).

- [32] Dey K.P., Ghosh S., Naskar M.K., **A Facile Synthesis of ZSM-11 Zeolite Particles Using Rice Husk Ash as Silica Source**, *Mater. Lett.*, **87**: 87-89 (2012).
- [33] Yang G., Zhang X., Yang H., Long Y., Ma J., **Sucrose Facilitated Synthesis of Mesoporous Silicoaluminophosphate SAPO-11 with Different Crystalline Phases of MoO₃ for Highly-Efficient Oxidative Desulfurization**, *J. Colloid Interf. Sci.*, **532**: 92-102 (2018).
- [34] Rafiee E., Rahpeyma N., **Selective Oxidation of Sulfurs and Oxidation Desulfurization of Model Oil by 12-Tungstophosphoric Acid on Cobalt-Ferrite Nanoparticles as Magnetically Recoverable Catalyst**, *Chin. J. Catal.*, **36(8)**: 1342-1349 (2015).
- [35] Jin C., Li G., Wang X., Wang Y., Zhao L., Sun D., **A Titanium Containing Micro/Mesoporous Composite and Its Catalytic Performance in Oxidative Desulfurization**, *Micropor. Mesopor. Mat.*, **111(1-3)**: 236-242 (2008).
- [36] Yu Q., Chen J., Zhang Q., Li C., Cui Q., **Micron ZSM-11 Microspheres Seed-Assisted Synthesis of Hierarchical Submicron ZSM-11 with Intergrowth Morphology**, *Mater. Lett.*, **120**: 97-100 (2014).
- [37] Liu D., Zhou W., Wu J., **Effect of Ce and La on the Activity of CuO/ZSM-5 and MnO_x/ZSM-5 Composites for Elemental Mercury Removal at Low Temperature**, *Fuel*, **194**: 115-122 (2017).
- [38] Li X., Mao Y., Leng K., Ye G., Sun Y., Xu W., **Enhancement of Oxidative Desulfurization Performance Over Amorphous Titania by Doping MIL-101 (Cr)**, *Micropor. Mesopor. Mat.*, **254**: 114-120 (2017).
- [39] Dizaji A.K., Mortaheb H.R., Mokhtarani B., **Complete Oxidative Desulfurization Using Graphene Oxide-Based Phosphomolybdic Acid Catalyst: Process Optimization by Two Phase Mass Balance Approach**, *Chem. Eng. J.*, **335**: 362-372 (2018).
- [40] Opalka S.M., Zhu T., **Influence of the Si/Al Ratio and Al Distribution on the H-ZSM-5 Lattice and Brønsted Acid Site Characteristics**, *Micropor. Mesopor. Mat.*, **222**: 256-270 (2016).
- [41] Groen J.C., Jansen J.C., Moulijn J.A., Pérez-Ramírez J., **Optimal Aluminum-Assisted Mesoporosity Development in MFI Zeolites by Desilication**, *J. Phys. Chem. B*, **108(35)**: 13062-13065 (2004).
- [42] Groen J.C., Peffer L.A., Moulijn J.A., Pérez-Ramírez J., **Mechanism of Hierarchical Porosity Development in MFI Zeolites by Desilication: The Role of Aluminium as a Pore-Directing Agent**, *Chem. Eur. J.*, **11(17)**: 4983-4994 (2005).
- [43] Gonzalez G., Gomes M.E., Vitale G., Castro G.R., **Effect of Al Content on Phase Transitions of Zeolite MEL**, *Micropor. Mesopor. Mat.*, **121(1-3)**: 26-33 (2009).
- [44] Shirazi L., Jamshidi E., Ghasemi M., **The Effect of Si/Al Ratio of ZSM-5 Zeolite on Its Morphology, Acidity and Crystal Size**, *Cryst. Res. Technol.*, **43(12)**: 1300-1306 (2008).
- [45] Yu Q., Tang X., Yi H., **Fabrication of ZSM-11 (5) Particles with Nanorods Oriented-Stacking Morphology by an in-Situ Feeding Method**, *Chem. Eng. J.*, **314**: 212-222 (2017).

- [46] Chai L., Li H., Zheng X., Wang J., Yang J., Lu J., Yin D., Zhang Y., **Pervaporation Separation of Ethanol-Water Mixtures Through B-ZSM-11 Zeolite Membranes on Macroporous Supports**, *J. Membr. Sci.*, **491**: 168-175 (2015).
- [47] Hernández-Maldonado A.J., Yang R.T., **Desulfurization of Liquid Fuels by Adsorption via π Complexation with Cu (I)-Y and Ag-Y Zeolites**, *Ind. Eng. Chem. Res.*, **42(1)**: 123-129 (2003).
- [48] Yu Q., Li C., Tang X., Yi H., **One-Step Synthesis, Characterization and Catalytic Performance of Hierarchical Zn-ZSM-11 via Facile ZnO Routes**, *RSC Adv.*, **5(11)**: 8152-8162 (2015).
- [49] Shen V., Watanabe K., Bell A., **Theoretical Analysis of the Thermodynamics of ZSM-11 Zeolite Synthesis**, *J. Phys. Chem. B*, **101(12)**: 2207-2212 (1997).
- [50] Barry R.W., Kim Y.H., Huffsmith A., Reimer J.A., Iglesia E., **Structure and Density of Mo and Acid Sites in Mo-Exchanged H-ZSM5 Catalysts for Nonoxidative Methane Conversion**, *J. Phys. Chem. B*, **103(28)**: 5787-5796 (1999).
- [51] Mannei E., Ayari F., Petitto C., Asedegbega-Nieto E., Guerrero-Ruiz A.R., Delahay G., Mhamdi M., Ghorbel A., **Light Hydrocarbons Ammonium Into Acetonitrile over Mo-ZSM-5 Catalysts: Effect of Molybdenum Precursor**, *Micropor. Mesopor. Mat.*, **241**: 246-257 (2017).
- [52] Zhu W., Zhu G., Li H., Chao Y., Zhang M., Du D., Wang Q., Zhao Z., **Catalytic Kinetics of Oxidative Desulfurization with Surfactant-Type Polyoxometalate-Based Ionic Liquids**, *Fuel Process. Technol.*, **106**: 70-76 (2013).
- [53] Chamack M., Mahjoub A., Aghayan H., **Catalytic Performance of Vanadium-Substituted Molybdophosphoric Acid Supported on Zirconium Modified Mesoporous Silica in Oxidative Desulfurization**, *Chem. Eng. Res. Des.*, **94**: 565-572 (2015).